

การสร้างมิวแทนของ Azotobacter spp. ที่ไนโตรเจนไม่ถูกกีดกัน



นางสาวเล่าวณิช ภาควิชาเคมี

ศูนย์วิทยทรัพยากร

วิทยานิพนธ์นี้เป็นส่วนหนึ่งของการศึกษาตามหลักสูตรปริญญาวิทยาศาสตรมหาบัณฑิต

ภาควิชาชีวเคมี

บัณฑิตวิทยาลัย จุฬาลงกรณ์มหาวิทยาลัย

พ.ศ. 2530

ISBN 974-568-100-8

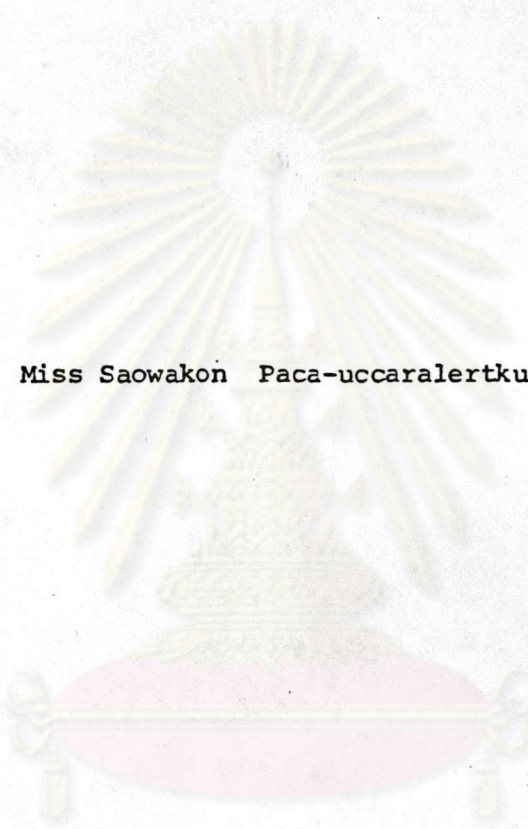
ลิขสิทธิ์ของบัณฑิตวิทยาลัย จุฬาลงกรณ์มหาวิทยาลัย

013009

i10299865

CONSTRUCTION OF NITROGENASE DEREPRESSED

MUTANTS OF AZOTOBACTER SPP.



Miss Saowakon Paca-uccaralertkun

A Thesis Submitted in Partial Fulfillment of the Requirements

for the Degree of Master of Science

Department of Biochemistry

Graduate School

Chulalongkorn University

1987

ISBN 974-568-100-8

หัวข้อวิทยานิพนธ์

การสร้างชีวแทนที่ของ Azotobacter spp. ที่ไนโตรเจนส์

ไม่ถูกกดต้น

โดย

นางสาวเสาวคนธ์ ภคักรเลิศกุล

ภาควิชา

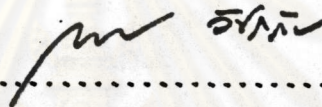
ชีวเคมี

อาจารย์ที่ปรึกษา

รองศาสตราจารย์ ดร.ไพเราะ ภิรมย์รัตน์



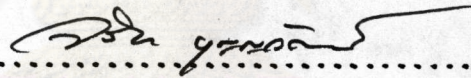
บัณฑิตวิทยาลัย จุฬาลงกรณ์มหาวิทยาลัย อนุมัติให้รับวิทยานิพนธ์ฉบับนี้ เป็นส่วนหนึ่ง
ของการศึกษาตามหลักสูตรปริญญามหาบัณฑิต



..... คณบดีบัณฑิตวิทยาลัย

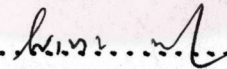
(รองศาสตราจารย์ ดร.ถาวร วิทย์รัชนี)

คณะกรรมการสอบวิทยานิพนธ์




..... ประธานกรรมการ

(รองศาสตราจารย์ ดร.จรรยา บุญญวัฒน์)




..... อาจารย์ที่ปรึกษา

(รองศาสตราจารย์ ดร.ไพเราะ ภิรมย์รัตน์)



..... กรรมการ

(ผู้ช่วยศาสตราจารย์ ดร.ศิริพร สิทธิประณีต)



..... กรรมการ

(ดร.นันทกร บุญเกิด)

หัวข้อวิทยานิพนธ์	การสร้างมิวแทนท์ของ <u>Azotobacter</u> spp. ที่ไนโตรจีเนส ไม่ถูกกดดัน
ชื่อนิสิต	นางสาวเสาวคนธ์ ภควัชรเลิศกุล
อาจารย์ที่ปรึกษา	รองศาสตราจารย์ ดร.ไพเราะ ทัพยทัศน์
ภาควิชา	ชีวเคมี
ปีการศึกษา	2529




บทคัดย่อ

การวิจัยนี้ได้เคลื่อนพลาสมิดดีเอ็นเอ pCK3 ซึ่งมียีน nif A จาก Klebsiella pneumoniae M5a1 มีคุณสมบัติถอดรหัสได้ตลอดเวลาเข้าไปใน Azotobacter โดยใช้วิธีการแทรนส์ฟอร์มเมชัน พบว่าสามารถแยกทรานส์ฟอร์มแมนท์ของ A. vinelandii และ A. chroococcum ที่ถอดรหัสไนโตรจีเนสภายใต้ภาวะที่มีอนุมูลอัมโมเนียมปริมาณสูงได้ด้วยควมถี่ 1.2×10^9 และ 2×10^7 เซลล์ต่อกรัมของพลาสมิดดีเอ็นเอ ตามลำดับ ซึ่งทรานส์ฟอร์มแมนท์เหล่านี้มีสมบัติการเจริญเติบโตคล้ายคลึงกันมาก มีความสามารถต้านยาเตรทตราไซคลิกลิน $5 \mu\text{g} \cdot \text{ml}^{-1}$ และคานามัยซิน $50 \text{ ng} \cdot \text{ml}^{-1}$ ได้ดี และถอดรหัสให้เอ็นไซม์ไนโตรจีเนสภายใต้ภาวะที่มีอนุมูลอัมโมเนียมได้ค่า ARA ใกล้เคียงกันแม้ว่าจะค่อนข้างต่ำคือมีค่าเพียง 30 - 60 นาโนโมลของเอทิลีนต่อมิลลิกรัมโปรตีนต่อชั่วโมง จึงได้กลายพันธุ์ทรานส์ฟอร์มแมนท์ที่มีพลาสมิด pCK3 ด้วย NTG และได้พลาสมิดตัวใหม่ให้ชื่อว่า pCK3* นำไปทรานส์ฟอร์มเข้า Azotobacter spp. สายพันธุ์ WT อีกครั้งหนึ่ง ในครั้งนี้สามารถแยกได้ทรานส์ฟอร์มแมนท์ที่ต้านคานามัยซินได้ถึง $1 \mu\text{g} \cdot \text{ml}^{-1}$ หรือเพิ่มเป็น 20 เท่าจากเดิม นอกจากนี้ยังพบว่าทรานส์ฟอร์มแมนท์ชุดใหม่มีค่า ARA เพิ่มขึ้นจากทรานส์ฟอร์มแมนท์เดิม 13 เท่า ในภาวะที่มี Ammonium acetate 15 mM เป็นสารต้นตอไนโตรเจน

ได้ลุ่มเลือกสายพันธุ์ของทรานส์ฟอร์มแมนท์จากการทรานส์ฟอร์มเมชันทั้งสองครั้งนำไปศึกษาผลกระทบต่ออ้อย พบว่าน้ำหนักแห้งของต้นและใบอ้อยจากอ้อยที่ปลูกร่วมกับ

Azotobacter WT และทรานส์ฟอร์แมนที่มีค่าสูงกว่า control ที่ไม่มี Azotobacter เมื่อปลูกอ้อยในสารอาหารที่มี Ammonium sulfate 1.2 mM สายพันธุ์ที่มี pCK3 จะช่วยเพิ่มน้ำหนักแห้งของต้นและใบอ้อยเป็น 153% และเพิ่มค่า ARA จากรากอ้อยเป็น 233% เมื่อเทียบกับสายพันธุ์ WT ยิ่งไปกว่านั้นสายพันธุ์ที่มี pCK3* จะช่วยเพิ่มน้ำหนักแห้งของลำต้นและใบอ้อยเป็น 157% และเพิ่มค่า ARA จากรากอ้อยเป็น 472% เมื่อเทียบกับสายพันธุ์ที่มี pCK3 ผลของการวิจัยนี้แสดงให้เห็นว่าพลาสมิดตัวใหม่ pCK3* มีประสิทธิภาพในการถอดรหัสของยีน nif A สูงกว่าเดิม



ศูนย์วิทยทรัพยากร
จุฬาลงกรณ์มหาวิทยาลัย

2

of the new plasmid DNA isolation, and named it as pCK3*. This new plasmid pCK3* was retransformed into both species of Azotobacter rendering strains of kanamycin resistance of 1 µg per ml, a 20 fold increase in antibiotic concentration with respected to the initial transformants. In addition, the culture of new transformants, rendered a 13 fold increase in the activity of acetylene reduction, when compared to that of the original transformants, all of which being cultivated under the medium having 15 mM ammonium acetate as the nitrogen source.

Strains from the transformation were randomly selected as representative to investigate an inoculum effect to the sugarcane growth. It was found that all sugarcane plants, being previously inoculated with Azotobacter spp., irrespective of the nature of transforming plasmid, rendered a higher value in the acetylene reduction activity and the total dry weight of the whole plant, when compared to those of the control, the uninoculated ones. In the media with 1.2 mM ammonium sulfate, plants, inoculated with strain, harboring pCK3 rendered a 153% increase in the total dry weight of the whole plant and a 233% increase in the acetylene reduction activity when compared to those inoculated with the WT. Furthermore, plants, inoculated with strain, harboring pCK3* rendered a 157% increase in the total dry weight of the whole plant and a 472% increase in the acetylene reduction activity when compared to those inoculated with the strain, harboring pCK3. Our result illustrated that the pCK3* new plasmid DNA should consist of an efficient regulatory gene, which was more suitable for the nif A gene expression than that of the original.



กิตติกรรมประกาศ

ผู้เขียนใคร่ขอกราบขอบพระคุณ รองศาสตราจารย์ ดร.ไพเราะ ทิพย์ทัศน์ ที่ได้ให้ความกรุณาเป็นที่ปรึกษา ให้ความช่วยเหลือ ความเข้าใจ และกำลังใจ อันล้ำค่าต่อผู้เขียนตลอดระยะเวลาที่ผู้เขียนศึกษาอยู่ในภาควิชาชีวเคมี

กราบขอบพระคุณ ผู้ช่วยศาสตราจารย์ ดร.ศิริพร สิทธิประณีต ที่ได้กรุณาให้คำปรึกษาและคำแนะนำที่สำคัญและเป็นประโยชน์อย่างมากในการวิจัยนี้ รวมทั้งกรุณาได้รับเป็นกรรมการสอบวิทยานิพนธ์

กราบขอบพระคุณ ดร.นันทกร บุญเกิด ที่ได้กรุณาให้คำแนะนำและความช่วยเหลืออย่างมากในการวิจัยนี้ รวมทั้งกรุณาได้รับเป็นกรรมการสอบวิทยานิพนธ์

กราบขอบพระคุณ รองศาสตราจารย์ ดร.จรรยา บุญญวัฒน์ ที่ได้กรุณาได้รับเป็นกรรมการสอบวิทยานิพนธ์

กราบขอบพระคุณ ศาสตราจารย์ ชนาญวัฒน์ เทวกุล, รองศาสตราจารย์ ดร.สันต์ พลชัยกุล และผู้ช่วยศาสตราจารย์ ดร.ทรรค์ณีย์ ศรีไชโย ที่ได้กรุณาให้คำปรึกษาและคำแนะนำที่สำคัญและเป็นประโยชน์อย่างมากในการวิจัยนี้

กราบขอบพระคุณอาจารย์ทุกท่านในภาควิชาชีวเคมี ที่ได้ให้ความกรุณาและคำชี้แนะต่าง ๆ ตลอดระยะเวลาที่ผู้เขียนศึกษาอยู่ในภาควิชาชีวเคมี

ขอขอบคุณหน่วยปฏิบัติการพันธุวิศวกรรม และภาควิชาชีวเคมีที่กรุณาให้ความช่วยเหลือด้านสถานที่ อุปกรณ์ เครื่องใช้ และสารเคมี ตลอดระยะเวลาการทำวิจัย

ขอขอบคุณ คุณเศรษฐา ศิริกันธุ์ เป็นอย่างยิ่งที่กรุณาให้ความช่วยเหลือและความเข้าใจ รวมทั้งสายพันธุ์ของแบคทีเรียที่นำมาทำวิจัย ขอขอบคุณ วีระวัฒน์ อังควนิช ที่กรุณาให้ความช่วยเหลือและความเข้าใจแก่ผู้เขียน ขอขอบคุณสมาชิกทุกคนในหน่วยปฏิบัติการพันธุวิศวกรรม เพื่อน ๆ พี่ ๆ และน้อง ๆ ในภาควิชาชีวเคมีทุกคน สำหรับความช่วยเหลือและกำลังใจ

ขอขอบคุณเจ้าหน้าที่ในภาควิชาชีวเคมีทุกคน ในความช่วยเหลือเรื่องทั่วไประหว่างการทำวิจัย ขอขอบคุณสมาคมผลิตแก๊สจุฬาลงกรณ์มหาวิทยาลัย ที่ให้การสนับสนุนด้านทุนการศึกษา ขอขอบคุณคณะวิทยาศาสตร์ และบัณฑิตวิทยาลัย สำหรับความอนุเคราะห์ด้านทุนวิจัย

สารบัญ



	หน้า
บทคัดย่อภาษาไทย	ง
บทคัดย่อภาษาอังกฤษ	ฉ
กิตติกรรมประกาศ	ช
สารบัญตาราง	ญ
สารบัญรูป	ฎ
บทที่	
1 บทนำ	1
2 วิธีการทดลอง	14
3 ผลการทดลอง	29
4 วิจารณ์ผลการทดลอง	76
5 สรุปผลและข้อเสนอนะ	86
เอกสารอ้างอิง	88
ภาคผนวก	99
ประวัติผู้เขียน	130

ศูนย์วิทยทรัพยากร
จุฬาลงกรณ์มหาวิทยาลัย

สารบัญตาราง

ตารางที่		หน้า
1	สมบัติของ Mo Fe proteins จากแบคทีเรียที่ตรึงไนโตรเจน ได้สฤตต่าง ๆ	5
2	สมบัติของ Fe proteins จากแบคทีเรียที่ตรึงไนโตรเจนได้ สฤตต่าง ๆ	6
3	โปรตีนต่าง ๆ จากยีนของเอนไซม์ไนโตรซิเนสพร้อมทั้งหน้าที่ ได้จากการถอดรหัสของยีนไนโตรซิเนสของ <u>Klebsiella</u> <u>pneumoniae</u>	9
4	ความสามารถในการใช้สารต้นตอคาร์บอนของ <u>Azotobacter</u> <u>vinelandii</u> และ <u>Azotobacter chroococcum</u> เพื่อ การเจริญเติบโต	34
5	ความไวของ <u>A. vinelandii</u> และ <u>A. chroococcum</u> ต่อยาปฏิชีวนะ	35
6	ลักษณะการเจริญของ <u>A. vinelandii</u> และ <u>A. chroo-</u> <u>coccum</u>	41
7	ความไวของ <u>Azotobacter</u> spp. WT และทรานส์ฟอร์- แมนท์ต่อยาปฏิชีวนะ	47
8	เปรียบเทียบแอกติวิตีค่าเพาะของอะเซทิลีนรีดักชัน (ARA) ของ <u>Azotobacter</u> spp. WT และทรานส์ฟอร์แมนท์	51
9	เปรียบเทียบการเจริญของ <u>A. vinelandii</u> WT และทราน- ส์ฟอร์แมนท์ TF23(pCK3)	55

ตารางที่

หน้า

10	เปรียบเทียบการเจริญของ <u>A. vinelandii</u> WT และทราน- สเฟอร์แมนท์ TF 23 (pCK3) และฉิวแทนท์ล่ายพันธ์ุ TF 239 (pCK3 [*])	57
11	เปรียบเทียบการเจริญของ <u>Azotobacter</u> spp. ระหว่าง WT และทรานสเฟอร์แมนท์ที่มี pCK3 [*]	62
12	เปรียบเทียบการเจริญของ <u>Azotobacter</u> spp. ระหว่าง WT, TF 23 (pCK3) และ TF 2 (pCK3 [*])	68
13	เปรียบเทียบการเจริญของ <u>Azotobacter</u> spp. ระหว่าง WT และ TF C2 (pCK3 [*])	69
14	ผลกระทบของ <u>Azotobacter</u> ที่มีต่อน้ำหนักแห้ง ความสูงและ แอกติวิตีจำเพาะของอะเซทิลีนรีดักชันของอ้อยในการทดลอง ครั้งที่ 1	73
15	ผลกระทบของ <u>Azotobacter</u> ที่มีต่อน้ำหนักแห้ง ความสูงและ แอกติวิตีจำเพาะของอะเซทิลีนรีดักชันของอ้อยในการทดลอง ครั้งที่ 2	75
16	สมบัติต่าง ๆ ของ <u>Azotobacter</u> spp.	77

ศูนย์วิจัยและพัฒนาการ
 จุฬาลงกรณ์มหาวิทยาลัย

สารบัญรูป

รูปที่		หน้า
1	ยีนของ เอนไซม์ไนโตรจีเนสใน <u>Klebsiella pneumoniae</u>	8
2	การควบคุมการถอดรหัสยีนของ เอนไซม์ไนโตรจีเนส	11
3	ลักษณะโคโลนีของ <u>A. vinelandii</u> และ <u>A. chroococ-</u> <u>cum</u>	30
4	คัลเจอร์ของ <u>A. vinelandii</u> และ <u>A. chroococcum</u> ที่ เจริญโดยใช้ Rhamnose และ Mannitol เป็นสารตั้งต่อ คาร์บอน	31
5	ความสามารถในการใช้แบ่ง เป็นสารตั้งต่อคาร์บอนของ <u>A.</u> <u>vinelandii</u> และ <u>A. chroococcum</u>	33
6	รูปแบบของความขุ่น จำนวนเซลล์ที่มีชีวิต และแอกติวิตีของ อะเซทิลีนรีดักชันของ <u>A. vinelandii</u> ในอาหารที่ปราศจาก สารตั้งต่อไนโตรเจน	36
7	รูปแบบของความขุ่น จำนวนเซลล์ที่มีชีวิต และแอกติวิตีของ อะเซทิลีนรีดักชันของ <u>A. chroococcum</u> ในอาหารที่มีปราศ- จากสารตั้งต่อไนโตรเจน	37
8	รูปแบบของความขุ่น จำนวนเซลล์ที่มีชีวิต และแอกติวิตีของ อะเซทิลีนรีดักชันของ <u>A. vinelandii</u> ในอาหารที่มี Ammonium acetate 15 mM เป็นสารตั้งต่อไนโตรเจน ..	38
9	รูปแบบของความขุ่น จำนวนเซลล์ที่มีชีวิต และแอกติวิตีของ อะเซทิลีนรีดักชันของ <u>A. chroococcum</u> ในอาหารที่มี Ammonium acetate 15 mM เป็นสารตั้งต่อไนโตรเจน ..	39

รูปที่		หน้า
10	แผนผังเรสติกชั่นของ พลาสมิด pCK3	43
11	ผลการย่อยพลาสมิดดีเอ็นเอ pCK3 ด้วยเอนไซม์ EcoRI และ SalI บน 0.6% Agarose gel electrophoresis	44
12	รูปแบบของการเจริญของ <u>A. vinelandii</u> ใน TF medium และ TF medium ที่เสริมด้วย Ferrous sulfate 18 mM	45
13	เปรียบเทียบการทนทานต่อยาปฏิชีวนะของ <u>A. vinelandii</u> WT และทรานส์ฟอร์แมนท์	48
14	เปรียบเทียบการทนทานต่อยาปฏิชีวนะของ <u>A. chroococcum</u> WT และทรานส์ฟอร์แมนท์	49
15	การตรวจสอบพลาสมิดดีเอ็นเอของทรานส์ฟอร์แมนท์ของ <u>Azotobacter</u>	50
16	รูปแบบของความขุ่น จำนวนเซลล์ที่มีชีวิต และแอกติวิตีของ อะเซทิลีนรีดักชั่นของ TF 23 (pCK3) ในอาหารที่ปราศจาก สารต้นตอไนโตรเจน	53
17	รูปแบบของความขุ่น จำนวนเซลล์ที่มีชีวิต และแอกติวิตีของ อะเซทิลีนรีดักชั่นของ TF 23 (pCK3) ในอาหารที่มี Ammonium acetate 15 mM เป็นสารต้นตอไนโตรเจน	54
18	ผลของการย่อยพลาสมิดดีเอ็นเอ pCK3 และ pCK3* ด้วยเอน- ไซม์ EcoRI และ Sal I บน 0.6% Agarose gel electrophoresis	58
19	รูปแบบของการเจริญของ <u>A. vinelandii</u> WT และ TF 2 (pCK3*) ในอาหารสูตรปรับต่ำ และอาหารอุดม	60
20	รูปแบบของการเจริญของ <u>A. chroococcum</u> WT และ TF C2 (pCK3*) ในอาหารสูตรปรับต่ำ และอาหารอุดม	61

รูปที่		หน้า
21	รูปแบบของความขุ่น จำนวนเซลล์ที่มีชีวิต และแอกติวิตีของ อะเซทิลสไนร์ดักซ์ของ TF2(pCK3 [*]) ในอาหารที่ปราศจาก สารต้นตอไนโตรเจน	63
22	รูปแบบของความขุ่น จำนวนเซลล์ที่มีชีวิต และแอกติวิตีของ อะเซทิลสไนร์ดักซ์ของ TFC2(pCK3 [*]) ในอาหารที่ปราศจาก สารต้นตอไนโตรเจน	64
23	รูปแบบของความขุ่น จำนวนเซลล์ที่มีชีวิต และแอกติวิตีของ อะเซทิลสไนร์ดักซ์ของ TF2(pCK3 [*]) ในอาหารที่มี Ammo- nium acetate 15 mM เป็นสารต้นตอไนโตรเจน	66
24	รูปแบบของความขุ่น จำนวนเซลล์ที่มีชีวิต และแอกติวิตีของ อะเซทิลสไนร์ดักซ์ของ TFC2(pCK3 [*]) ในอาหารที่มี Ammonium acetate 15 mM เป็นสารต้นตอไนโตรเจน ..	67
25	Dixon plot ของ <u>A. vinelandii</u> WT ที่เจริญในอาหาร ที่ไม่มีสารต้นตอไนโตรเจนมี Ammonium chloride เป็นตัว ยับยั้ง	70
26	Dixon plot ของ TF2(pCK3 [*]) ที่เจริญในอาหารที่ไม่มี สารต้นตอไนโตรเจน มี Ammonium chloride เป็นตัวยับยั้ง	72